

# Side channel attack against the Mbed TLS implementation of the RSA algorithm.

## Presentació

Victor Micó Biosca

Escola Politècnica Superior  
Universitat de Girona

22 de Juny de 2023



# Taula de Continguts

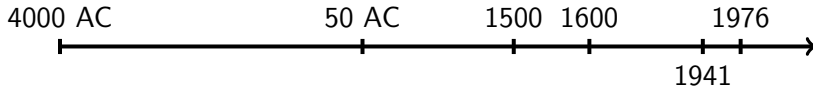
1 Introducció i objectius del projecte

2 Desenvolupament del projecte

3 Conclusions

4 Demostració

# Breu història de la criptografia



- 4000 AC Jeroglífics a Egipte
- 50 AC Xifra de Cèsar
- 1553 Xifra de Vigenère
- 1941 Alan Turing Desxifra la màquina enigma
- 1976 Es publica el algoritme de xifra simètric DES
- 1976 Diffie i Hellman introdueixen l'Intercanvi de claus pública i privada
- 1978 Publicació del sistema de xifrat de clau pública RSA (Rivest, Shamir i Adleman)

# RSA - Primitives criptogràfiques

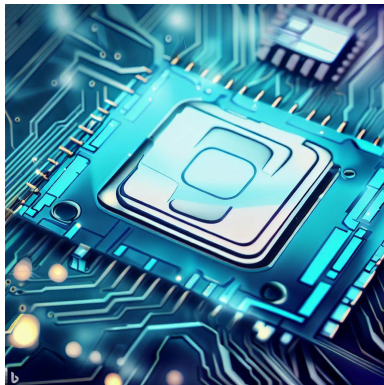
- **Xifrat:**  $c = m^e \bmod n$  on  $m$  és el missatge,  $e$  és la clau pública i  $c$  és el text xifrat (*ciphertext*).
- **Desxifrat:**  $m = c^d \bmod n$  on  $c$  és el text xifrat,  $d$  és la clau privada i  $m$  és el missatge.
- **Firma:** En el procés de signatura, l'autor del missatge utilitza la seva clau privada per generar una firma  $s = m^d \bmod n$ .
- **Verificació de la firma:** La firma  $s$  d'un missatge  $m$  es verifica computant  $m' = s^e \bmod n$ . Si  $m = m'$ , llavors la firma és vàlida.

# RSA - Procés de generació de la clau RSA

- 1 Es generen dos nombres primers,  $p$  i  $q$  grans, distints i amb una longitud en bits similar.
- 2 Es calcula el mòdul  $n = p \cdot q$
- 3 Es calcula el totient de  $n$ , i.e.  $\varphi(n) = (p - 1) \cdot (q - 1)$
- 4 Es tria un nombre enter positiu que sigui coprimer amb  $\varphi(n)$  i que compleixi  $1 < e < \varphi(n)$ . El parell  $(n, e)$  serà la clau pública.
- 5 Es calcula l'exponent privat  $d$  realitzant una operació d'aritmètica modular anomenada inversa multiplicativa. Ha de satisfer que  $d \cdot e \equiv 1 \pmod{\varphi(n)}$ . L'exponent  $d$  serà la clau privada.

# Dispositius criptogràfics

Els dispositius criptogràfics són capaços de rebre un missatge a través d'una interfície, xifrar el contingut del missatge i transmetre el missatge xifrat. Generalment, també són capaços de fer l'operació a la inversa: rebre un missatge xifrat, desxifrar-lo i transmetre el missatge en text pla.



**Figure:** Representació d'un dispositiu criptogràfic creada amb Dall-E

# Atacs a dispositius criptogràfics

- **Atacs actius:** Un atac actiu consisteix a manipular els *inputs* o l'entorn del dispositiu amb l'objectiu que funcioni de forma errònia o diferent de les condicions normals. Amb la injecció de faltes (*fault injection*) és possible fer passar un PIN dolent per bo o extreure claus criptogràfiques, entre d'altres.
- **Atacs passius:** En un atac passiu, l'atacant extreu informació del dispositiu a través de canals laterals (*side-channel*) mentre que el dispositiu funciona en condicions normals. Aquests canals laterals poden ser el consum elèctric, la radiació electromagnètica o, fins i tot, el so o la temperatura.

# Algoritmes d'exponenciació modular

L'exponenciació modular és la operació més important del RSA.

L'algoritme més bàsic per a computar  $m^e$  consisteix a multiplicar  $m$  per si mateix  $e$  vegades, i.e.  $m \cdot m \cdot \dots \cdot m$ . Per a una clau de 1024 bits això suposaria:

$$2^{1024} > 2^{300}$$

Nombre d'operacions  $>$  Nombre estimat d'àtoms a l'univers.



# Algoritmes d'exponenciació modular

---

## Algorithm Left-to-right binary exponentiation

---

**Require:**  $m$  as message

**Require:**  $(e = (e_t e_{t-1} \dots e_1 e_0)_2)$  for  $e_i \in (0, 1)$

**Ensure:**  $m^e$

- 1:  $A \leftarrow 1$
  - 2: **for**  $i \leftarrow t$  to 0 **do**
  - 3:    $A \leftarrow A \cdot A$  {Square}
  - 4:   **if**  $e_i = 1$  **then**
  - 5:      $A \leftarrow A \cdot m$  {Multiply}
  - 6: **return**  $A$
-

# Atacs de canal lateral

## SPA: Simple Power analysis

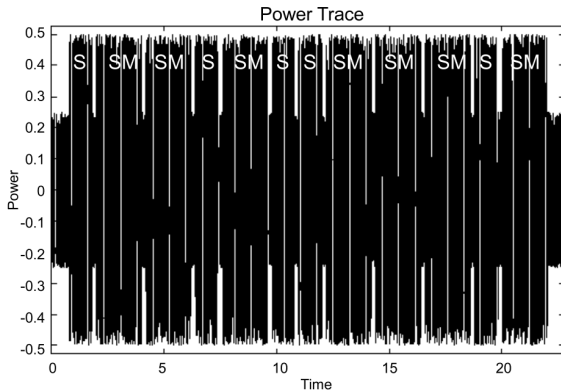


Figure: Traça de potència de RSA

# Algoritmes d'exponenciació modular

---

**Algorithm** Left-to-right multiply always binary exponentiation

---

**Require:**  $m$  as message

**Require:**  $(e = (e_t e_{t-1} \dots e_1 e_0)_2)$  for  $e_i \in (0, 1)$

**Ensure:**  $m^e$

```
1:  $A \leftarrow 1$ 
2: for  $i \leftarrow t$  to 0 do
3:    $A \leftarrow A \cdot A$  {Square}
4:   if  $e_i = 1$  then
5:      $A \leftarrow A \cdot m$  {Multiply}
6:   else
7:      $T \leftarrow A \cdot m$  {Multiply and discard}
8: return  $A$ 
```

---

# Algoritmes d'exponenciació modular

---

## Algorithm Left-to-right k-ary exponentiation

---

**Require:**  $m$  as message

**Require:**  $(e = (e_t e_{t-1} \dots e_1 e_0)_b)$  for  $e_i$  where  $b = 2^k$  for some  $k > 1$

**Ensure:**  $m^e$

```
1:  $m_0 \leftarrow 1$ 
2: for  $i \leftarrow 1$  to  $(2^k - 1)$  do
3:    $m_i \leftarrow m_{i-1} \cdot m$  {Thus  $m_i = m^i$ }
4:  $A \leftarrow 1$ 
5: for  $i \leftarrow t$  to 0 do
6:    $A \leftarrow A^{2^k}$  {k Squares}
7:    $A \leftarrow A \cdot m_{e_i}$  {Multiply}
8: return  $A$ 
```

---

# Algoritmes d'exponenciació modular

---

## Algorithm Sliding-window exponentiation

---

**Require:**  $m$  as message

**Require:**  $(e = (e_t e_{t-1} \dots e_1 e_0)_2)$  with  $e_t = 1$  and integer  $k \geq 1$

**Ensure:**  $m^e$

```
1:  $m_1 \leftarrow m$ 
2:  $m_2 \leftarrow m^2$ 
3: for  $i \leftarrow 1$  to  $(2^{k-1} - 1)$  do
4:    $m_{2i+1} \leftarrow m_{2i-1} \cdot m_2$ 
5:  $A \leftarrow 1$ 
6:  $i \leftarrow t$ 
7: while  $i \geq 0$  do
8:   if  $e_i = 0$  then
9:      $A \leftarrow A \cdot A$  {Square}
10:     $i \leftarrow i - 1$ 
11:  else {Find the longest bitstring  $e_l e_{l-1} \dots e_i$  such that  $i - l + 1 \geq k$ }
12:     $A \leftarrow A^{i-l+1}$  {k Squares}
13:     $A \leftarrow A \cdot m_{(e_l e_{l-1} \dots e_i)_2}$  {Multiply}
14:     $i \leftarrow l - 1$ 
15: return  $A$ 
```

---

# Atacs de canal lateral

## CPA: Correlation Power Analysis

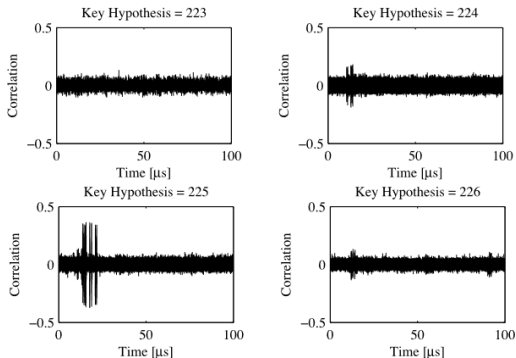


Figure: Resultat de CPA per a diferents hipòtesis de valor intermedi

# Contramesures contra Side-channel aplicades a RSA

## Ofuscació de l'exponent

Els atacs de CPA ataquen l'exponent, que és fix en múltiples traces. Per a evitar-ho, és possible ofuscar l'exponent en cada nova execució afegint-hi una màscara additiva. L'exponent secret és aleatoritzat utilitzant la següent equació:

$$d' \leftarrow d + r \cdot \phi(n)$$

On  $r$  és un nombre aleatori i  $\phi(n)$  és el totient d'Euler aplicat al mòdul  $n$ . Utilitzant l'exponent ofuscat s'obté el mateix missatge xifrat, i.e.  $m^d \equiv m^{d'}$ .

# Contramesures contra Side-channel aplicades a RSA

## Ofuscació del missatge

Els atacs de CPA també aprofiten que es pot controlar el missatge o bé que el missatge és conegut. Per tal que això no passi, podem ofuscar el missatge abans de la xifra. Per fer-ho, es genera un nombre aleatori  $r$  i amb aquest es calculen  $r_1$  i  $r_2$  encarregats de fer imprevisible el missatge d'entrada i de corregir el resultat final respectivament:

$$r_1 = r^e \mod n$$

$$r_2 = r^{-1} \mod n$$

Llavors durant l'operació d'RSA.

$$x' = x \cdot m_1$$

$$y' = x'^d \mod n$$

$$y = y' \cdot m_2$$



# Atacs verticals vs atacs horitzontals

## Atacs Verticals

- SPA
- CPA
- Template attacks
- DL-Based attacks

## Atacs Horitzontals

- Big Mac attack
- Horizontal Correlation Analysis
- Cross-correlation
- Clustering Analysis

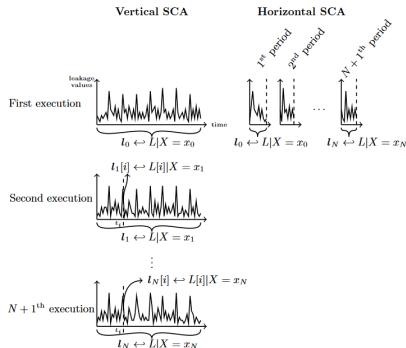


Figure: Atacs verticals i horitzontals.

# Set up

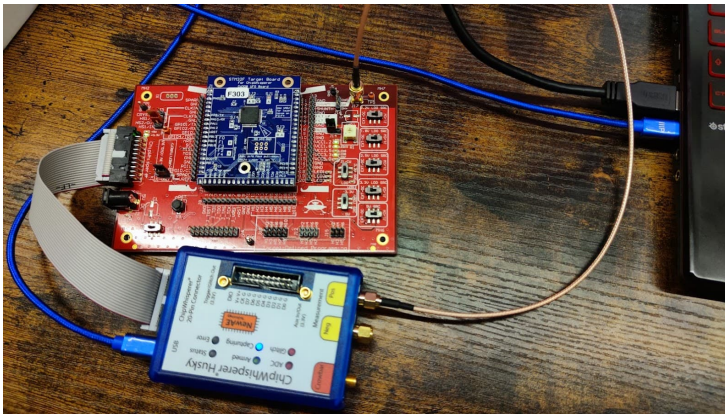


Figure: Set up

# Costos associats al projecte

Concepte	Quantitat	Valor Unitari	Cost
Hores científic de dades	200	50 €/hora	10000 €
Cost d'amortització de l'ordinador	200	0.11 €/hora	22 €
CW308 Target base board i targets	1	306 €	306 €
CW Husky	1	550 €	550 €
Altres materials i recursos	1	100 €	100 €
<b>Total</b>			<b>10978 €</b>

Table: Costos associats al projecte



# SPA

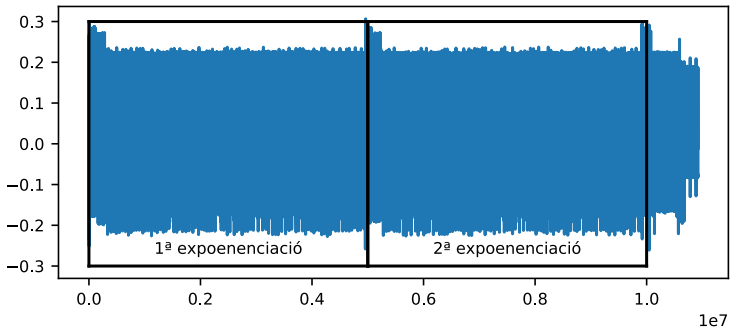


Figure: Traça RSA completa

# SPA

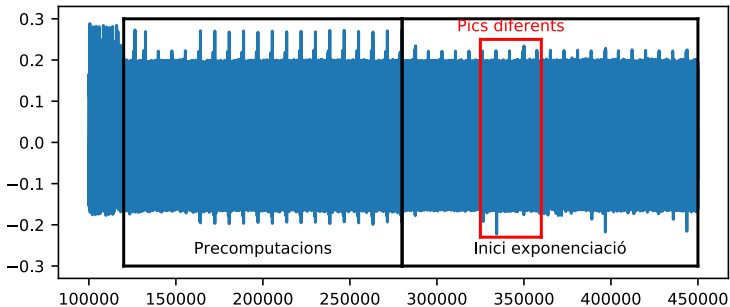


Figure: Precomputacions i inici de l'exponenciació

# SPA

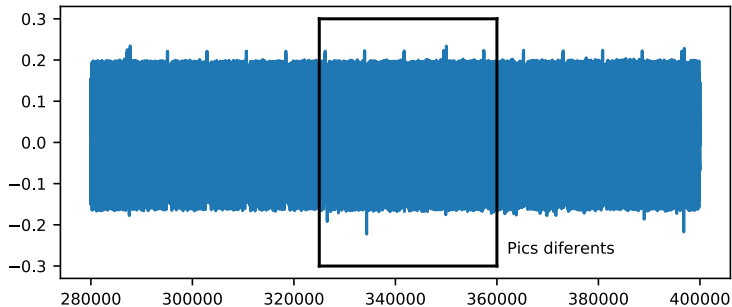


Figure: Pics diferents entre les operacions modulars

# SPA

---

## Algorithm Lowpass filter

---

**Require:**  $t$  as Trace to filter

**Require:**  $weight$  as Weight of the lowpass filter

**Ensure:**  $result$  Trace filtered

$weight_1 \leftarrow weight + 1$

$N \leftarrow length(trace)$

**for**  $i \leftarrow 1 to N$  **do**

$result[i] \leftarrow (result[i] + weight * result[i - 1]) / weight_1$

$i \leftarrow N - 2$

**while**  $i \geq 0$  **do**

$result[i] \leftarrow (result[i] + weight * result[i + 1]) / weight_1$

**return**  $result$

---



# SPA

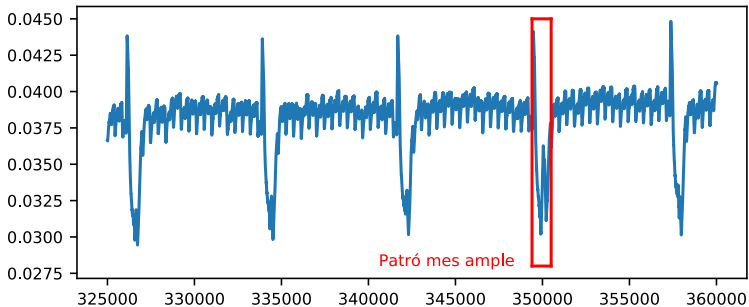


Figure: Traça filtrada amb lowpass

# Correspondència de patrons

---

## Algorithm Pattern match

---

**Require:**  $t$  as trace

**Require:**  $ref$  as Reference pattern

**Ensure:**  $scores$

$N \leftarrow \text{length}(trace)$

$n \leftarrow \text{length}(ref)$

**for**  $i \leftarrow 1 \text{ to } N$  **do**

$score[i] \leftarrow \text{corr}(ref, trace(i, i + n))$

**return**  $score$

---

# Correspondència de patrons: Identificació de quadrats i multiplicacions

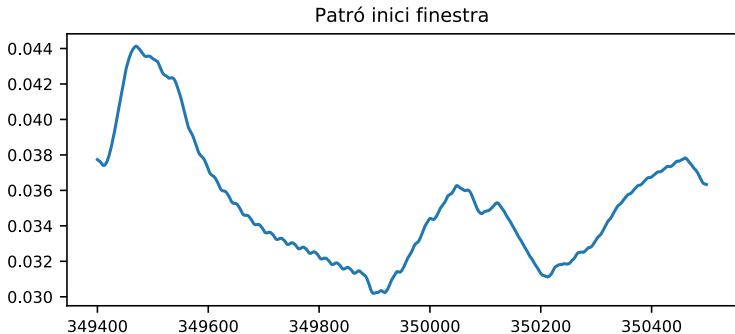


Figure: Patró inci de finestra

# Correspondència de patrons: Identificació de quadrats i multiplicacions

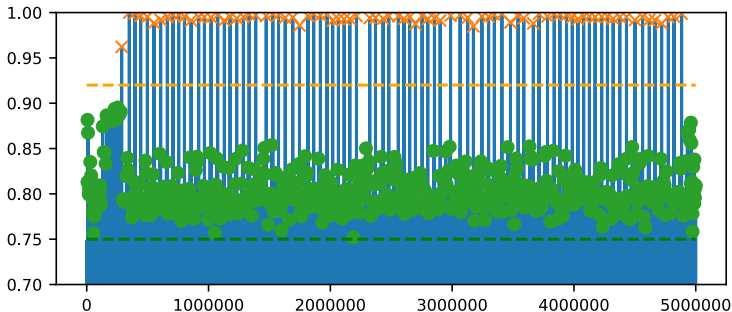


Figure: Resultat de la correspondència de patrons

# Correspondència de patrons: Identificació de quadrats i multiplicacions

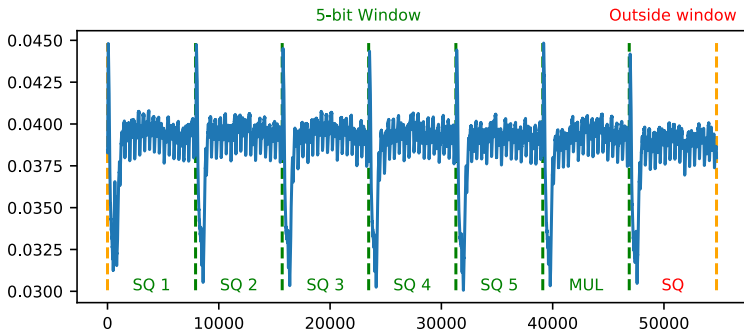


Figure: Identificació d'operacions modulars

# Correspondència de patrons: Identificació de quadrats i multiplicacions

## Bits obtinguts de la primera exponenciació

1xxxx001xxxx1xxxx1xxxx01xxxx01xxxx01xxxx01xxxx1xxxx1xxxx1xxxx01x  
xxx001xxxx1xxxx01xxxx01xxxx01xxxx1xxxx01xxxx01xxxx1xxxx01xxxx000  
001xxxx01xxxx1xxxx01xxxx001xxxx01xxxx0001xxxx1xxxx01xxxx01xxxx1x  
xxx1xxxx1xxxx1xxxx01xxxx00000001xxxx1xxxx001xxxx1xxxx00001xxxx1  
xxxx1xxxx1xxxx01xxxx1xxxx01xxxx1xxxx000001xxxx00001xxxx001xxxx1x  
xxx0001xxxx01xxxx1xxxx001xxxx0001xxxx001xxxx1xxxx00001xxxx1xxxx0  
001xxxx01xxxx1xxxx01xxxx1xxxx1xxxx1xxxx1xxxx01xxxx1xxxx1xxx  
x01xxxx01xxxx0001xxxx001xxxx01xxxx1xxxx01xxxx01xxxx1xxxx00xxxxxx

# Correspondència de patrons: Identificació de quadrats i multiplicacions

## Bits obtinguts de la segona exponenciació

1xxxx01xxxx1xxxx1xxxx1xxxx1xxxx1xxxx0001xxxx1xxxx1xxxx1xxxx00001  
xxxx1xxxx1xxxx01xxxx1xxxx1xxxx00001xxxx01xxxx01xxxx1xxxx1xxxx1xx  
xx1xxxx1xxxx01xxxx01xxxx1xxxx1xxxx1xxxx1xxxx1xxxx01xxxx1xxx  
x1xxxx1xxxx01xxxx1xxxx001xxxx1xxxx1xxxx000001xxxx01xxxx1xxxx1xxx  
x1xxxx00001xxxx0001xxxx0001xxxx1xxxx01xxxx01xxxx1xxxx1xxxx0  
1xxxx0001xxxx1xxxx1xxxx1xxxx1xxxx01xxxx001xxxx1xxxx0001xxxx1xxxx  
1xxxx0001xxxx1xxxx1xxxx1xxxx1xxxx1xxxx00001xxxx01xxxx1xxxx1xxxx1  
xxxx01xxxx01xxxx01xxxx01xxxx01xxxx0001xxxx001xxxx00001xxxxxxxx

# Correspondència de patrons: Identificació de bits dins d'una finestra

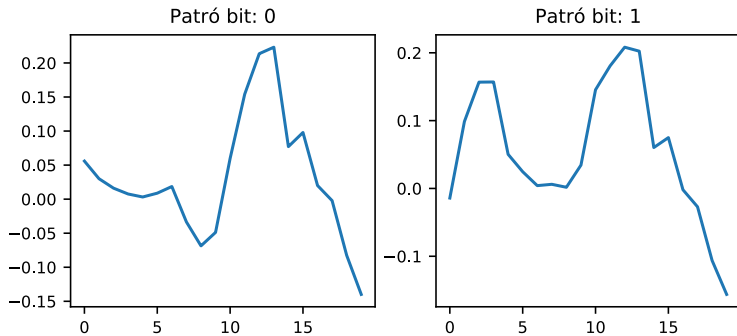
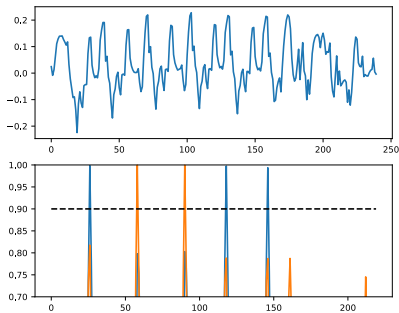


Figure: Patrons corresponents a la càrrega d'un zero i d'un u

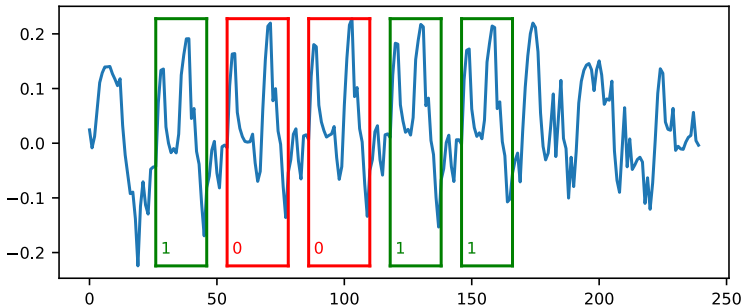


# Correspondència de patrons: Identificació de bits dins d'una finestra



**Figure:** Dalt: Segment de traça corresponent a la càrrega dels bits d'una finestra  
Baix: Resultat de la correspondència de patrons per als bits zero i u.

# Correspondència de patrons: Identificació de quadrats i multiplicacions



**Figure:** Identificació de càrrega individual de cada bit de la finestra

# Correspondència de patrons: Identificació de quadrats i multiplicacions

## Bits obtinguts de la primera exponenciació

```
110000011101011001111101010110011110101011001000010011110100111111011
0000011111010000010111011110101110101011101001001101110001010011000
0011110010010100110100100010001010001000101011001101011101100011
1111110110001110010101100000000011101101010010100111000000101101
1111100001000001100110001010010111110000011011000010111001110010
001000110110101011100100100100001100100100111111000001111111000
0011110011000101010110011100110100100111101111000010110100011100
101001001000100010000001000101110011000010111011010101110010010x
```

# Correspondència de patrons: Identificació de quadrats i multiplicacions

## Bits obtinguts de la segona exponenciació

```
1001001010110011100101111110110111110001111111011110111010100001
01011101110011010010111011111000001010101010101111001110001111
1011000101010101110101001010110011101001001111010100010100001100
0100011001001110010111001001111011111010000010110010010101011110
1111100000111110001001100010011110010101100100101000111000110110
101110001010010001110111111110010110010010111101010001011110110
1000000011110100001101111010111011011000001011001001011100100111
101101000101101001100101010001110000011111001011000001101010111
```

# Resum de resultats

	1 <sup>a</sup> exponenciació	2 <sup>a</sup> exponenciació
Distingir quadrats de multiplicacions	33,98%	30,91%
Distingir bits de cada finestra	99,80%	100%

Table: Resum de resultats

# Conclusions

Els atacs de canal lateral son factibles, es poden realitzar amb un pressupost ajustat i amb mètodes relativament senzills de processat de senyal

Com a treball futur es proposa:

- 1 Actualitzar el codi de la llibreria Mbed TLS a l'última versió per comprovar si és possible explotar aquesta vulnerabilitat.
- 2 Provar altres dispositius *target* alternatius a l'STM32F3.
- 3 Utilitzar altres tècniques per extreure els valors de l'exponent, com algoritmes de *clustering*.

**MOLTES GRÀCIES!**